

С-346.5а
Б-219



918/79

ОБЪЕДИНЕННЫЙ ИНСТИТУТ ЯДЕРНЫХ ИССЛЕДОВАНИЙ

Баля, Е. и др.
Б3-1-12176.

Б3-1-12176

ДЕПОНИРОВАННАЯ ПУБЛИКАЦИЯ

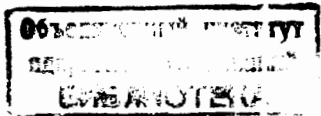
Дубна 1979

Е.Балля *, В.М.Карнаухов, Г.Келлнер ***, К.Кока *,
А.Михул **, В.И.Мороз

Б3-1-12176

Сечения каналов реакций со странными частицами
в четырехлучевых $\pi^+\rho^-$ -взаимодействиях при
16 Гэв/с

Рукопись поступила
в Новосибирский отдел
..12.. 01 1979г.



-
- * Центральный институт физики, Бухарест, СРР.
** Университет, Бухарест, СРР.
*** ЦЕРН, Женева, Швейцария.

Определены сечения каналов реакций с Λ , K^0 -частичами в четырехлучевых $\pi^- \rho$ -взаимодействиях при 16 ГэВ/с. Проведено сравнение с сечениями, полученными в других экспериментах при различных импульсах первичных π^- -мезонов.

В работе представлены результаты изучения четырехлучевых $\pi\rho$ -взаимодействий с рождением Λ, K^0 -частиц при импульсе первичных π^- -мезонов 16 Гэв/с.

Работа выполнена на материале ~ 100000 фотоснимков с двухметровой водородной пузырьковой камеры ЦЕРН.

По условиям эксперимента реакции с рождением Σ^0 -частиц не могли быть отделены от аналогичных реакций с Λ , поэтому следует ожидать загрязнения каналов с Λ -частицами.

Методика просмотра, измерений и обработка ν^0 -распадов изложена в ^{1/}. Дальнейшая процедура обработки, в частности, выделение каналов реакций и использованные при этом критерии показаны в ^{2/}. Поэтому в данной работе обсуждаются только вопросы, связанные с поправками и определением сечений.

I. Сечения каналов реакций были посчитаны нормированием на полное сечение $\pi\rho$ -взаимодействий при 16 Гэв/с, полученное в ^{3/}. Величина, использованная здесь, $\sigma_{\text{сод.}} = \frac{\sigma_{\pi\rho}}{N_{\pi\rho}} = (0,1896 \pm 0,0095) \text{ мкб/событие}$, соответствует сечению одного $\pi\rho$ -события. Сечения вычислялись по формуле: $\sigma_i = \sigma_{\text{сод.}} \cdot N_i \cdot W_i$,

где N_i - количество идентифицированных событий, W_i - полный вес, учитывающий веса всех странных частиц, входящих в реакцию.

Были учтены следующие весовые факторы.

1. Вес, включающий в себя поправку на эффективность просмотра, равен 1,01.

2. События, которые после трех независимых измерений имели какой-либо дефект геометрической реконструкции в камере, классифицировались как неизмеримые. Отношение потерянных (неизмеренных и неизмеримых) событий к общему числу событий, найденных при просмотре пленки, оказалось равным $\sim 20\%$. Вес, учитывающий такие потери, равен 1,24.

3. При фильтровании каналов реакций с помощью гипотез с 1 и 4 уравнениями связи граница вероятности, при которой гипотеза еще считалась истинной, была выбрана равной 0,5%. С учетом этого вероятностного обрезания было скорректировано количество событий

в различных каналах реакций.

4. Если событие удовлетворяло гипотезам с 4 и I уравнениями связи, предпочтение отдавалось гипотезе с 4 уравнениями связи. На просмотровых столах проверялось соответствие наблюдаемой на треках ионизации с рассчитанной. Каждое неоднозначно идентифицированное событие было взято с весом, равным обратной величине количества принятых неоднозначных гипотез.

5. Для того, чтобы учсть потери событий, связанные с распадом V^0 вблизи первичной звезды, с распадом за пределами камеры, каждой зарегистрированной распадающейся частице был приписан вес

$$W_1 = \left[\exp\left(-\frac{L_{min}}{L_0 \cos \alpha}\right) - \exp\left(-\frac{L_{pot}}{L_0}\right) \right]^{-1}.$$

Здесь L_{min} — минимальная, спроектированная на плоскость XY длина пробега Λ, K^0 -частиц (в этом эксперименте $L_{min} = 0,3$ см). L_0 — средняя длина пробега до распада ($L_0 = \frac{P}{M} \cdot \tau$, где M и τ , соответственно, масса и время жизни частицы, P — измеренный импульс). α — угол погружения частицы. L_{pot} — потенциальная длина (расстояние от точки рождения частицы до края эффективного объема по направлению частицы).

6. Кроме того, идентифицированные события были взвешены с дополнительным весом W_2 для каждой незарегистрированной в камере нейтральной странной частицы, имеющейся в канале.

$$W_2 = \frac{1 - \theta_0}{1 - \theta_0 + \theta_0 \exp(-L_{pot}/L_0)},$$

где θ_0 — величина, характеризующая вероятность заряженных мод распада $1/4$.

7. Каждой V^0 -частице был затем приписан вес $1/\theta_0$ или $1/(1-\theta_0)$ в зависимости от того, была или нет она зарегистрирована в эффективной области.

В таблице I показаны вычисленные средние величины весов странных частиц. Поскольку вероятность распада K^\pm -частиц в водородной пузырьковой камере очень мала, события с видимыми распадами K^\pm -частиц не были использованы для определения сечений, веса для K^\pm не учитывались при расчете сечений.

П. В таблице 2 приведены идентифицированные каналы реакций и топология событий, показаны величины рассчитанных сечений каналов реакций и полное количество событий в каждом канале.

В таблице 3 представлена компиляция сечений некоторых каналов реакций в π^-p -взаимодействиях при различных импульсах первичных π^- -мезонов.

Авторы благодарны ЦЕРН за предоставленные фотоснимки с двухметровой водородной пузырьковой камеры, лаборантам - за проведенный просмотр, измерения, помощь в расчетах.

Таблица I. Средние веса для зарегистрированных (*viz*) и незарегистрированных (*inv*) Λ, K^0 - частиц.

$$W(\Lambda)_{viz} = 1.73$$

$$W(\Lambda)_{inv} = 2.59$$

$$W(K^0)_{viz} = 1.63$$

$$W(K^0_s)_{inv} = 2.63$$

$$W(K^0)_{inv} = 3.26$$

$$W(K^0)_{inv} = 1.48$$

Таблица 2. Количество идентифицированных событий и сечения каналов реакций.

канал реакции	наблюдаемый распад	количество событий	сечение (Мкб)
$\Lambda K^+ \pi^+ \pi^- \pi^-$	Λ	29	$II.9 \pm 2.3$
$\Lambda K^+ \pi^+ \pi^- \pi^- \pi^0$	Λ	152	62.4 ± 5.2
$\Lambda K^0 \pi^+ \pi^+ \pi^- \pi^-$	K_s^0, Λ	6	
	K_s^0	29.5	
	Λ	58.5	
$\Lambda K^0 \pi^+ \pi^+ \pi^- \pi^- \pi^0$	K_s^0, Λ	18	24.2 ± 5.7
$PK^+ K^0 \pi^- \pi^-$	K_s^0	22.5	$I7.6 \pm 3.7$
$PK^+ K^0 \pi^- \pi^- \pi^0$	K_s^0	69.2	53.6 ± 6.4
$PK^- K^0 \pi^+ \pi^-$	K_s^0	24.5	$I9.1 \pm 3.8$
$PK^- K^0 \pi^+ \pi^- \pi^0$	K_s^0	152.7	$II8.6 \pm 9.5$
$\pi K^+ K^0 \pi^+ \pi^- \pi^-$	K_s^0	52.5	40.7 ± 5.6
$\pi K^- K^0 \pi^+ \pi^+ \pi^-$	K_s^0	53.5	$4I.6 \pm 5.7$
$\pi K^0 K^0 \pi^+ \pi^+ \pi^- \pi^-$	$2K_s^0$	12.5	$3I.6 \pm 8.9$
$PK^0 K^0 \pi^+ \pi^- \pi^- \pi^0$	$2K_s^0$	II.5	29.1 ± 8.9
$PK_s^0 K_s^0 \pi^+ \pi^- \pi^-$	$2K_s^0$	6	3.7 ± 1.5
$PK_s^0 K_s^0 \pi^+ \pi^- \pi^-$	K_s^0	84.2	-
$PK_s^0 K_s^0 \pi^+ \pi^- \pi^-$	K_s^0	76.2	29.3 ± 4.0
$PK^0 K^0 \pi^+ \pi^- \pi^-$	IK_s^0 или $2K_s^0$	90.2	40.6 ± 4.3

Таблица 3. Сравнение сечений странных частиц (в Мб) для некоторых каналов реакций при различных импульсах первичных π^- -мезонов.

№ п/п Реакция	Импульс π^- мезонов	2.9-3.3 /5/	3.8-4.2 /5/	4 /6/	4.65 /7/ /6/	5 /8/ /6/	5 /9/ /10/	16 /10/ /11/	25 /11/
I. $\pi^- p \rightarrow K^+ \pi^+ \pi^- \pi^-$	10. I±I.3	30.0±3.8	33±10 ($1/\xi^0$)	10 ($1/\xi^0$)	5I±7 ($1/\xi^0$)	22.6±7.0	II. 9±2.3 ($1/\xi^0$)		
2. $K^+ \pi^+ \pi^- \pi^- \pi^0$			I2±6 ($1/\xi^0$)	50 ($1/\xi^0$)	34±5	2I±7	62.4±5.2 ($1/\xi^0$)		
3. $K^0 \pi^+ \pi^+ \pi^- \pi^-$			3±3 ($1/\xi^0$)	20 ($1/\xi^0$)	I2±3	I6. 9±5.6	I2±6 ($1/\xi^0$)	27.0±5.6 ($1/\xi^0$)	2.8±1.3 ($1/\xi^0$)
4. $K^0 \pi^+ \pi^+ \pi^- \pi^- \pi^0$			I0±10 ($1/\xi^0$)			4. 4±I.3	49±13	24.2±5.7 ($1/\xi^0$)	25.6 6.2(
5. $p K^+ K^0 \pi^- \pi^-$	2.0±0.8	9.7±2.6	I2±8		24±6	I2.7±6.0		I7. 6±3.7	
6. $p K^+ K^0 \pi^- \pi^- \pi^0$					I7±4	8. I±4.0		53.6±6.4	
7. $p K^- K^0 \pi^+ \pi^-$		2.3±0.8	I5.8±3.4		I7.0±4	24.8±7.0		I9. I±3.8	
8. $p K^- K^0 \pi^+ \pi^- \pi^0$					40	I4.8±6.0		III8. 6±9.5	
9. $n K^+ K^0 \pi^+ \pi^- \pi^-$					8±4	I6.8±6.5		40.7±5.6	
10. $n K^- K^0 \pi^+ \pi^- \pi^-$					5±3	I6.2±6.0		4I.6±5.7	
II. $p K_S^0 K_S^0 \pi^+ \pi^- \pi^-$					I7±4		I7±3	3. 7±I.5	
12. $p K^0 K^0 \pi^+ \pi^- \pi^-$						I. 0±I.0		40.6±4.3	
13. $p K^0 K^0 \pi^+ \pi^- \pi^- \pi^0$							9±4 ($K_S^0 K_S^0$)	29.1±8.9	
14. $n K^0 K^0 \pi^+ \pi^- \pi^-$							5±3 ($K_S^0 K_S^0$)	3I. 6±8.9	